

## Original Paper

# A survey of moderate interval training on expression of mir-126, mir-1185 AKT and VCAM in cardiac tissue of rats with allergic asthma

**Masoumeh Nobahar**, Ph.D Candidate in Exercise Physiology, Department of Exercise Physiology, Faculty of Education and Psychology, University of Mohaghegh Ardabili, Ardabil, Iran.

ORCID 0000-0002-4290-5604

\***Marefat Siahkouhian (Ph.D)**, Corresponding Author, Professor of Sport Physiology, Department of Sport Physiology, Faculty of Educational Sciences and Psychology, University of Mohaghegh Ardabili, Ardabil, Iran. E-mail: m\_siahkohian@uma.ac.ir

ORCID 0000-0002-2166-897X

**Shadmehr Mirdar (Ph.D)**, Professor of Exercise Physiology, Department of Exercise Physiology, Faculty of Physical Education and Sport Sciences, University of Mazandaran, Babolsar, Iran. Athletic Performance and Health Research Center, University of Mazandaran, Babolsar, Iran.

ORCID 0000-0003-3075-1529

## Abstract

**Background and Objective:** People with asthma are at increased risk for cardiovascular disease and increased risk of death. Asthma is associated with the structure and function of vessel changes. In this regard, MicroRNAs, AKT and VCAM play an important role in endothelial function. So, the aim of this study was to investigate the effect of 12 weeks of interval training on expression of mir-126, mir-1185 AKT and VCAM in cardiac tissue rats with allergic asthma.

**Methods:** This experimental study was performed on 15 Wistar rats. Animals were randomly allocated into three groups ( $n=5$ ) including healthy control, asthma control and asthmatic interval training. Ovalbumin solution was injected subcutaneously 3 times per week to asthma groups, and suffering from asthma was confirmed by increasing the amount of IgE. The asthma group participated in 8-week exercise training. The rats were anesthetized at the end of 8 weeks and then their heart tissue was isolated by surgical instrument and immediately placed in nitrogen fluid. Expression of mir-126, mir-1185, AKT and VCAM in rats cardiac tissue were evaluated.

**Results:** AKT and VCAM expression was significantly increased in asthma control group compared to healthy control group ( $P<0.05$ ). mir-126, AKT and VCAM expression were significantly increased in asthmatic interval training group in compared to asthma control group ( $P<0.05$ ) while Mir-1185 was significantly reduced in asthmatic interval training group in compared to asthma control group ( $P<0.05$ ).

**Conclusion:** Interval training by increasing mir-126, by reducing the expression of mir-1185, AKT, and VCAM reduces the risk of atherosclerosis in rats affected with asthma.

**Keywords:** Asthma, Interval Training, mir-126, mir-1185, AKT, VCAM

Received 9 May 2020

Revised 25 Aug 2020

Accepted 26 Sep 2020

Cite this article as: Nobahar M, Siahkouhian M, Mirdar Sh. [A survey of moderate interval training on expression of mir-126, mir-1185 AKT and VCAM in cardiac tissue of rats with allergic asthma]. J Gorgan Univ Med Sci. 2021 Spring; 23(1): 55-63. [Article in Persian]

## پایش یک دوره تمرین تناوبی شدت متوسط بر بیان ژن‌های mir-126، mir-1185، AKT و VCAM در بافت قلب موش‌های صحرایی مبتلا به آسم آنژیک

Orcid 0000-0002-4290-5604

دانشکده علوم تربیتی و روانشناسی، دانشگاه حقوق اردبیلی، اردبیل، ایران.

Orcid 0000-0002-2166-897X

دانشکده علوم تربیتی و روانشناسی، دانشگاه حقوق اردبیلی، اردبیل، ایران.

Orcid 0000-0003-3075-1529

دانشگاه مازندران، بابلسر، ایران.

Orcid 0000-0003-3075-1529

دانشگاه فرهنگیان، استاد فیزیولوژی ورزشی، گروه فیزیولوژی ورزشی، دانشگاه حقوق اردبیلی، اردبیل، ایران.

Orcid 0000-0003-3075-1529

دکتر شادمهر میردار، استاد فیزیولوژی ورزشی، دانشگاه مازندران، بابلسر، ایران.

### چکیده

زمینه و هدف: افراد مبتلا به آسم در معرض ابتلا به بیماری‌های قلبی عروقی و خطر افزایش مرگ و میر هستند. آسم با ساختار و عملکرد تغییرات رگ در ارتباط است. در همین راستا میکرو RNAها، AKT و VCAM نقش مهمی در عملکرد اندوتیال دارند. این مطالعه به منظور پایش یک دوره تمرین تناوبی شدت متوسط بر بیان ژن‌های mir-126، mir-1185، AKT و VCAM در بافت قلب موش‌های صحرایی مبتلا به آسم آنژیک انجام شد.

روش بودسی: در این مطالعه تجربی ۱۵ سرموش صحرایی نر ترازد و ویستار پنج هفته‌ای به صورت تصادفی در ۳ گروه ۵ تا ۶ میکروگروه‌های کنترل، آسم و آسم توام با تمرین تناوبی تقسیم شدند. محلول اووالبومین ۳ بار در هفته به صورت زیرصفاقی به گروه‌های آسم تزریق و از طریق مقدار IgE مبتلا به آسم شدن تایید گردید. گروه آسم توام با تمرین تناوبی در ۸ هفته تمرین شرکت کردند. ۷۲ ساعت پس از آخرین جلسه تمرین ابتدا حیوانات بیهوش و سپس با استفاده از وسایل جراحی، بافت قلب آنها جداسازی و بلاعده در مایع نیتروژن قرار داده شد. سپس بیان mir-126، mir-1185، AKT و VCAM بررسی گردید.

یافته‌ها: بیان ژن‌های AKT و VCAM در گروه آسم در مقایسه با گروه کنترل افزایش معنی‌داری داشت ( $P < 0.05$ ). میزان mir-126 و AKT و VCAM در گروه آسم توام با تمرین تناوبی در مقایسه با گروه کنترل افزایش آماری معنی‌دار و میزان mir-1185 کاهش آماری معنی‌دار نشان داد ( $P < 0.05$ ).

نتیجه‌گیری: تمرین تناوبی از طریق افزایش mir-126 و کاهش بیان ژن‌های mir-1185، AKT و VCAM خطر آتروسکلروز را در موش‌های صحرایی مبتلا به آسم کاهش می‌دهد.

**کلید واژه‌ها:** آسم، تمرین تناوبی، mir-126، mir-1185، AKT، VCAM

\* نویسنده مسؤول: دکتر معرفت سیاهکوهیان، پست الکترونیکی m\_siahkohian@uma.ac.ir

نشانی: اردبیل، دانشگاه حقوق اردبیلی، دانشکده علوم تربیتی و روانشناسی، تلفن ۰۴۵-۳۱۵۰۵۲۹۷، نامبر ۳۳۵۲۰۴۵۷

وصول مقاله: ۱۳۹۹/۷/۵، اصلاح نهایی: ۱۳۹۹/۶/۴، پذیرش مقاله: ۱۳۹۹/۷/۵

مبتلا به آسم شدید ۱/۴۳ درصد، در بیماران مبتلا به آسم متوسط ۲۵ درصد و در گروه کنترل ۱۴/۳ درصد بود (۲). مکانیسم‌های پاتولوژی مبتنی بر تغییرات شریانی آتروسکلروز مرتبط با آسم هنوز مشخص نیست؛ اما برخی مطالعات به پدیده‌های مانند التهاب و استرس اکسیدانتیو به عنوان مکانیسم‌های بالقوه منجر به تسریع آتروسکلروز که در آسم اتفاق می‌افتد؛ اشاره کرده‌اند (۲). AKT در مسیر سیگنالی PI3K/Akt/mTOR نقش مهمی در بیماری آسم داشته و به عنوان یکی اهداف درمانی آن شناخته می‌شود (۶). آزمایشات مولکولی نشان می‌دهند مهار کننده‌های AKT از پاتوژن AHR و التهاب ناشی از آلرژن جلوگیری می‌کند (۶). سلول‌های ساختاری از جمله سلول‌های عضلات صاف و اپیتلیال، سلول‌های مؤثر در آزادسازی واسطه‌های التهابی در آسم هستند و مسیر

آسم بیماری التهابی مزمن مجرای هوایی با تغییر در ساختار و عملکرد است و منجر به تحریک پذیری غیراختصاصی برونش و انسداد مجرای هوایی می‌شود (۱). این بیماری ممکن است بر روی بافت‌های دیگری علاوه بر بافت ریه اثر گذار باشد (۲). به نحوی که افراد مبتلا به آسم در معرض ابتلا به بیماری‌های قلبی عروقی و خطر افزایش مرگ نسبت به افراد غیرآسمی هستند. به علاوه آسم با ساختار و عملکرد تغییرات عروق در ارتباط است (۳). بر اساس مطالعات میزان مرگ و میر بیماران مبتلا به آسم، تا حدود بسیاری به علت بیماری قلبی عروقی است (۴). شواهد نشان می‌دهد در بیماری آسم خطر افزایش آتروسکلروز افزایش می‌یابد (۵). Tuleta و همکاران گزارش کرده‌اند وزن پلاک آتروسکلروزی در بیماران

در مورد اثرات ورزش در بافت قلب نمونه‌های مبتلا به آسم بر متغیرهای ذکر شده مطالعه‌ای یافت نکردیم؛ اما نتایج تحقیق Silva و Hemkaran نشان داد که تمرین هوازی موجب کاهش معنی‌دار VCAM در بافت ریه موش‌های مبتلا به آسم می‌شود (۲۳). PI3K/Akt و Hemkaran در سال ۲۰۱۸ کاهش فعالیت مسیر Agostini مطالعه‌ای DA Silva Jr و Hemkaran نشان دادند که تمرین هوازی را در سلول‌های سرطانی در اثر ورزش نشان دادند (۲۴). در مطالعه‌ای باعث افزایش بیان mir-126 در موش‌های صحرایی سالم می‌شود (۲۵). در مورد mir-1185 و تغییرات آن متعاقب ورزش نتایج روشنی ارایه نشده است. تمرینات طولانی مدت از نظر زمان اجرا علی‌رغم تاثیر مثبت خود، به دلیل خستگی‌های ناشی از آن در زمان‌های طولانی اجراء، باعث عدم رغبت برخی از افراد برای شرکت در آن می‌شود. از این رو تمرینات تناوبی با توجه به زمان کم اجراهای آن گرینه مناسبی به حساب می‌آید. در هر صورت افراد مبتلا به آسم با خطر بیماری‌های قلبی عروقی روبرو هستند و در این میان نقش برخی مسیرهای سیگنانی همچون AKT، ملکول‌های چسبان عروق و میکرو RNAها بسیار حائز اهمیت است. لیکن تغیرات این عوامل در بافت قلب افراد مبتلا به آسم به روشنی مشخص نبوده و نتایج مشخصی در مورد اثر تمرینات ورزشی بهخصوص تمرینات تناوبی بر آن گزارش نشده است. لذا این مطالعه به منظور پایش یک دوره تمرین تناوبی شدت متوسط بر بیان ژن‌های mir-126، mir-1185، AKT و VCAM در بافت قلب موش‌های صحرایی مبتلا به آسم آلرژیک انجام شد.

### روش برسی

این مطالعه تجربی روی ۱۵ سر موش صحرایی نر نژاد ویستار پنج هفته‌ای با وزن ۱۵۰-۲۰۰ گرم خریداری شده از انتستیتو پاستور آمل در آزمایشگاه تربیت بدنی دانشگاه مازندران طی سال ۱۳۹۷ انجام شد. مطالعه مورد تایید کمیته اخلاق در پژوهش دانشگاه علوم پزشکی اردبیل (IR.ARUMS.REC.1398.516) قرار گرفت.

پروتکل کار بر روی حیوانات آزمایشگاهی رعایت شد. مراحل پژوهش براساس راهنمای شورای ایجادگران پژوهش ملی برای مراقبت و استفاده از حیوانات آزمایشگاهی انجام گرفت و تلاش بر این بود که هر گونه استرس غیرضروری به حیوانات حذف گردد. موش‌ها پس از انتقال به محیط آزمایشگاه، به مدت یک هفته با شرایط جدید سازگار شدند. حیوانات در محیط استاندارد در اتاقی با جرخه ۱۲ ساعته روشنایی - تاریکی، دمای ۲۰ تا ۲۴ درجه سانتی گراد، رطوبت ۴۵ تا ۵۵ درصد مطلوب و دسترسی آزادانه به آب و غذا به صورت پنج تابی در قفس‌ها شفاف پلی کربنات) نگهداری شدند. آشناسازی با نحوه فعالیت حیوانات بر روی نوار گردان در ۴ جلسه به صورت راه رفتن و دویدن با سرعت ۱۰ تا ۲۰ متر بر دقیقه و شب

سیگنانی AKT نقش مهمی در پاسخ سلول‌های عضلات صاف و سلول‌های اپیتلیال دارد (۸). علاوه بر این مسیر سیگنانی AKT در ایجاد آترواسکلروز نیز موثر است. مهار مسیر سیگنانی Akt/mTOR پلاک‌های آترواسکلروتیک آسیب‌پذیر را تثبیت کند (۹). این مسیر در فعال شدن ملکول‌های چسبان عروقی نیز موثر است (۱۰). برخی مطالعات نشان داده که ذرات موجود در هوای طریق AKT/NF-κB باعث افزایش VCAM می‌شود (۱۰). یکی از حساس‌ترین نشانگرهای تشکیل پلاک آترواسکلروزی در دیواره اندوتیال عروق، مولکول‌های چسبان سلولی و عروقی VCAM است. افزایش بیان و فعالیت CAM‌ها نشان‌دهنده التهاب، اختلال عملکرد اندوتیال و آترواسکلروز است (۱۱). مولکول‌های چسبان از جمله VCAM سبب ورود مونوکویت‌ها به آندوتیال عروق شده و نفوذپذیری و فعالسازی پلاک‌ها افزایش می‌یابد. با مهاجرت سلول‌های عضلانی صاف جدار عروق، روند رسوب یافت فیروزی در آن ناحیه توسعه یافته و صفحات زرد پلاک آترومی گسترش می‌یابد (۱۲). در بیماری آسم مقدار VCAM افزایش پیدا می‌کند و به عنوان عاملی برای افزایش التهاب عمل می‌کند (۱۳).

نقش میکرو RNAها در پاسخ دستگاه قلبی عروقی به آسیب، التهاب و استرس قابل توجه است (۱۴). میکرو RNA نقش مهمی در تنظیم بیان ژن با مهار ترجمه پروتئین یا افزایش تجزیه mRNA دارند. یکی از میکرو RNAهای ویژه mir-126 از اثرات آتروسکلروزی بر اختلالات عروقی دارد (۱۵). در حد بسیاری در سلول‌های اندوتیال بافت قلب بیان می‌شود و نقش مهمی را در کنترل آنزیم پروتئینز و یکپارچگی عروقی ایفا می‌کند (۱۶). در بیماری آسم میزان بیان mir-126 تحت تاثیر قرار می‌گیرد (۱۷). تحقیقات نشان داده افزایش mir-126 در افراد مبتلا به آسم نشان‌دهنده عدم تعادل در سیستم ایمنی است (۱۸). از سوی دیگر نقش mir-1185 نیز در توسعه بیماری‌های قلبی عروقی قبل توجه است. mir-1185 موجب تسريع در روند سختی شریان شده و بر تون از عروقی موثر است. Deng و Hemkaran گزارش کردند mir-1185 از طریق UVRAG و KRIT1 باعث افزایش آپوپتوز سلول‌های اندوتیال می‌شود (۱۹). Deng و Hemkaran در تحقیق دیگری نشان دادند که از طریق افزایش ملکول‌های چسبان عروقی E-selectin و VCAM-1 باعث افزایش سفتی عروق خونی همانند ۱-1185 mir می‌شود (۲۰). با این حال mir-126 از فعالیت Vcam-1 باعث افزایش سفتی عروق خونی نموده و التهاب عروقی را تنظیم می‌کند (۲۱). در مورد اثرات بیماری آسم بر mir-118 نتایج روشنی گزارش نشده است.

افزایش فعالیت فیزیکی باعث کاهش خطر ابتلا به بیماری قلبی عروقی شده و روند پیشرفت آترواسکلروز را می‌کاهد (۲۲). هر چند

کردن در نظر گرفته شد.

**تشريح و بافت برداری:** ۷۲ ساعت پس از آخرین جلسه هفته تمرین تناوبی، موش‌ها با تزریق ۳ واحد محلول کتامین (۵۰ میلی گرم به ازای هر کیلو گرم) و زایلازین (۵-۳ میلی گرم به ازای هر کیلو گرم) بیوهش و بافت قلب آنها خارج و بالا فاصله در مابع نیتروژن قرار داده شد. سپس تا انجام مطالعات مولکولی در دمای ۷۰- درجه سانتی گراد نگهداری گردید.

**روش آزمایشگاهی:** از تکنیک RT-qPCR برای تایید بیان ژن‌های مورد مطالعه به صورت کمی استفاده شد. برای این منظور ابتدا با استفاده از محلول کیازول، RNA کل سلول‌ها طبق پروتکل (کیارن، آلمان) استخراج شد. برای اطمینان از آسودگی با DNA ژنومیک، در معرض I (DNase) (Fermentas) قرار گرفت. سپس کیفیت RNA های استخراج شده با دستگاه اسپکترفتومتری (DPI-1، Kiagen) مورد ارزیابی قرار گرفت. برای تهیه cDNA تک رشته‌ای از پرایمر (MWG-Biotech, Germany) Oligo dt معکوس (Fermentas) و بر اساس پروتکل (Fermentas, USA) PCR master mix در دستگاه SYBER Green (Applied Biosystems) و (Applied Biosystems, Sequences Detection Systems. Foster City, CA) انجام شد. هر واکنش PCR با استفاده از ABI Step One در SYBER Green (Applied Biosystems) پروتکل شرکت سازنده انجام گردید. ۴۰ سیکل برای هر چرخه Real-Time PCR در نظر گرفته شد و دمای هر سیکل شامل ۹۴ درجه سانتی گراد برای ۲۰ ثانیه، ۵۸-۶۰ درجه سانتی گراد برای ۳۰ ثانیه و ۷۲ درجه سانتی گراد برای ۳۰ ثانیه تنظیم شدند. نمودار Melting برای بررسی صحت واکنش‌های PCR انجام شد و به صورت اختصاصی برای هر ژن و در هر بار از واکنش به همراه نمودار کنترل منفی برای بررسی وجود آسودگی در هر واکنش مورد ارزیابی قرار گرفت. نسبت بیان ژن‌های مورد بررسی در این مطالعه، با روش مقایسه‌ای چرخه آستانه (Thereshold Cycle: CT) مورد ارزیابی قرار گرفتند.

برای اندازه‌گیری AKT: sc-5298 (آمریکا) و برای VCAM: sc-53548 (آمریکا) از کیت Santa Cruz Biotechnology استفاده گردید.

**روش آماری:** داده‌ها در نرم‌افزار آماری SPSS-23 ثبت شدند. نرمال بودن توزیع داده‌ها با استفاده از آزمون کولموگوف- اسمیرنوف تعیین شد. برای تعزیزه و تحلیل داده‌ها از آنالیز واریانس یک طرفه و آزمون تعییی توکی در سطح معنی‌دار کمتر از ۰/۰۵ استفاده شد.

#### یافته‌ها

بین گروه‌ها از نظر مقدار IgE (P<۰/۰۰۱)، بیان AKT

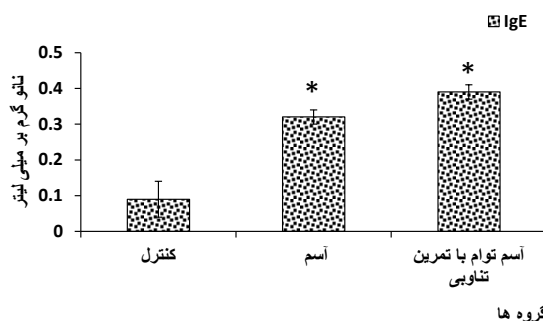
صفر اجرا شد. برای تحریک به دویلن و جلوگیری از اثر احتمالی شوک الکتریکی بر یافته‌های پژوهش در مرحله آشناسازی حیوانات با فعالیت روی نوار گردان به روش شرطی سازی با صدا آموزش داده شد تا از نزدیک شدن واستراحت در بخش انتهایی دستگاه خودداری کنند. براساس مقالات گذشته (۲۶)، موش‌های صحرایی پس از مراحل آشناسازی با محیط و نوار گردان، به صورت تصادفی در ۳ گروه ۵ تایی شامل گروه‌های کنترل، آسم و آسم توام با تمرین تناوبی تقسیم شدند.

**القای آسم:** برای القای آسم تجربی به موش‌های صحرایی، دو هفته محلول اووالبومین (OVA) به صورت درون‌صفاقی تزریق شد. این عمل سه بار در هفته انجام گردید. برای تهیه محلول به ازای هر یک گرم اووالبومین ۱۰۰ میلی گرم آلومنیوم و یک میلی لیتر سرم تزریقی برای هر موش صحرایی استفاده شد (۲۷). محلول با استفاده از شیکر و اولتوراسونیک ترکیب و در ظرف شیشه‌ای در یخچال نگهداری شد. برای اطمینان از آسمی شدن حیوانات مقدار IgE بررسی آسمی بودن نمونه‌ها تایید شد. گروه‌های آسم در طول ۸ هفته پروتکل تمرینی پس از تمرین به مقدار یک میلی لیتر به صورت درون‌صفاقی محلول اووالبومین را دریافت نمودند. برای از بین بردن استرس ناشی از تزریق، به گروه کنترل نیز مقدار یک میلی لیتر سرم نرمال سالین به صورت درون‌صفاقی تزریق شد. در طول پروتکل تمرینی گروه‌های آسمی علاوه بر تزریق یک بار در هفته، ۳ بار در هفته در داخل محفظه‌ای شیشه‌ای در معرض اشانه اووالبومین ۵درصد به مدت ۲۰ دقیقه قرار گرفتند. برای تهیه محلول اشانه از نسبت یک میلی گرم اووالبومین و یک میلی لیتر سرم نمکی استفاده شد.

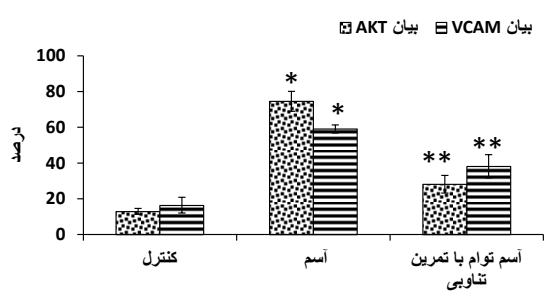
**پروتکل تمرین تناوبی:** برنامه تمرینی اینتروال شدت متوسط در طول ۸ هفته اجرا شد. پروتکل تمرینی ۳ بار در هفته و به صورت ۱۰ تکرار یک دقیقه‌ای و استراحت فعال ۲ دقیقه‌ای انجام شد. به صورتی که سرعت استراحت نصف سرعت دویلن بود و کل زمان تمرین روزانه برای هر موش ۳۰ دقیقه طول می‌کشد (۲۸ و ۲۹). در اولین جلسه پروتکل تمرینی آزمون ظرفیت بیشینه (MCT) انجام شد. به نحوی که آزمون با سرعت ۵ متر بر دقیقه شروع و هر ۳ دقیقه ۵ متر بر دقیقه به شدت فعالیت اضافه شد. MCT براساس وامانده شدن و توقف موش بر روی تسمه نوار گردان و برگشت به فضای بیرون از تسمه بدون شوک الکتریکی برای بیش از ۳ ثانیه تعیین شد. پس از تعیین MCT (در ابتدای پروتکل و پایان هفته چهارم)، پروتکل تمرین تناوبی به صورت دوره‌های ۴ هفته‌ای به صورت سینوسی اجرا شد. از نتایج تست‌ها برای محاسبه شدت تمرین برای هر موش در دوره‌های چهار هفته اول و دوم استفاده شد. به غیر از زمان فعالیت اصلی، ۵ دقیقه برای گرم کردن و ۵ دقیقه برای سرد

کنترل با گروه آسم ( $P<0.0862$ ) تفاوت آماری معنی‌داری مشاهده نشد (جدول ۲، نمودار ۳).

در مورد بیان ۱۱۸۵ mir- گروه آسم توام با تمرین تناوبی با گروه کنترل کاهاش آماری معنی‌داری وجود داشت ( $P<0.012$ ). بین گروه آسم توام با تمرین تناوبی با گروه آسم ( $P<0.0221$ ) و گروه کنترل با گروه آسم ( $P<0.0391$ ) تفاوت آماری معنی‌داری مشاهده نشد (جدول ۲، نمودار ۴).



نمودار ۱: مقدار IgE در گروه‌های مختلف مقایسه با گروه کنترل  $*P<0.05$



نمودار ۲: بیان AKT و VCAM در گروه‌های مختلف مقایسه با گروه کنترل  $*P<0.05$ ,  $**P<0.005$

( $P<0.001$ )، بیان VCAM ( $P<0.001$ )، بیان mir-126 ( $P<0.038$ )، بیان ۱۲۶ mir ( $P<0.001$ ) و بیان ۱۱۸۵ mir ( $P<0.016$ ) تفاوت آماری معنی‌داری وجود داشت (جدول یک).

| جدول ۱: نتایج آزمون آنالیز واریانس |         |          |
|------------------------------------|---------|----------|
| p-value                            | F       | متغیرها  |
| ۰/۰۰۱                              | ۱۳۷/۲   | AKT      |
| ۰/۰۰۱                              | ۶۰/۷۸   | VCAM     |
| ۰/۰۳۸                              | ۳/۵۶    | mir-126  |
| ۰/۰۱۶                              | ۴/۶۳    | mir-1185 |
| ۰/۰۰۱                              | ۱۹۸/۳۳۲ | IgE      |

با استفاده از آزمون آنالیز واریانس

بین دو گروه آسم و کنترل ( $P<0.001$ ) و گروه آسم توام با تمرین تناوبی در مقایسه با گروه کنترل ( $P<0.001$ ) از نظر مقدار IgE افزایش آماری معنی‌داری وجود داشت. بین گروه آسم با گروه آسم توام با تمرین تناوبی تفاوت معنی‌داری مشاهده نشد (جدول ۲، نمودار یک) ( $P<0.258$ ).

بین دو گروه کنترل و آسم ( $P<0.001$ )، گروه کنترل در مقایسه با گروه آسم توام با تمرین تناوبی ( $P<0.001$ ) و بین گروه آسم با گروه آسم توام با تمرین تناوبی ( $P<0.001$ ) از نظر بیان AKT کاهش آماری معنی‌داری یافت شد. (جدول ۲، نمودار ۲).

بین دو گروه کنترل و آسم ( $P<0.001$ )، گروه کنترل در مقایسه با گروه آسم توام با تمرین تناوبی ( $P<0.001$ ) و بین گروه آسم در مقایسه با گروه آسم توام با تمرین تناوبی ( $P<0.001$ ) از نظر بیان VCAM، کاهش آماری معنی‌داری وجود داشت (جدول ۲، نمودار ۲).

از نظر بیان ۱۲۶ mir بین گروه آسم توام با تمرین تناوبی با گروه کنترل افزایش آماری معنی‌داری وجود داشت ( $P<0.036$ )؛ اما بین گروه آسم توام با تمرین تناوبی با گروه آسم ( $P<0.140$ ) و گروه

جدول ۲: نتایج آزمون تعقیبی توکی برای متغیرهای تحقیق در گروه‌های مختلف

| p-value | تفاوت میانگین | گروه‌ها | متغیرها                           |
|---------|---------------|---------|-----------------------------------|
| ۰/۰۰۱   | -۴/۳۹         | آسم     | آسم توام با تمرین تناوبی AKT      |
| ۰/۰۰۱   | ۱۵/۱۸         | کنترل   |                                   |
| ۰/۰۰۱   | ۶۱/۵۷         | کنترل   | آسم توام با تمرین تناوبی VCAM     |
| ۰/۰۰۱   | -۲۰/۹         | آسم     |                                   |
| ۰/۰۰۱   | ۲۱/۷۷         | کنترل   | آسم توام با تمرین تناوبی          |
| ۰/۰۰۱   | ۴۲/۶۷         | کنترل   |                                   |
| ۰/۱۴۰   | ۰/۰۰۲۷        | آسم     | آسم توام با تمرین تناوبی mir-126  |
| ۰/۰۳۶   | ۰/۰۰۳۷        | کنترل   |                                   |
| ۰/۸۶۲   | ۰/۰۰۰۹        | کنترل   | آسم                               |
| ۰/۰۱۲   | -۰/۰۰۰۹       | آسم     | آسم توام با تمرین تناوبی mir-1185 |
| ۰/۲۲۱   | -۰/۰۰۰۵       | کنترل   |                                   |
| ۰/۳۹۱   | ۰/۰۰۰۴        | کنترل   | آسم                               |
| ۰/۲۵۸   | ۰/۰۰۲۵        | آسم     | آسم توام با تمرین تناوبی IgE      |
| ۰/۰۰۱   | ۰/۲۴۴         | کنترل   |                                   |
| ۰/۰۰۱   | -۰/۲۱۹        | کنترل   | آسم                               |

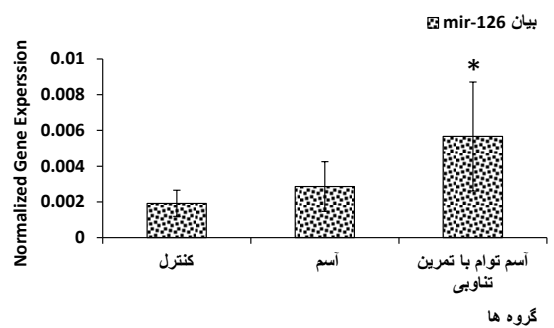
با استفاده از آزمون تعقیبی توکی

PI3K/Akt و همکاران در سال ۲۰۱۸ کاهش فعالیت مسیر Agostini را در سلول‌های سرطانی در اثر ورزش نشان دادند (۲۴). در مورد افزایش بیان AKT در بیماری آسم می‌توان به مواردی همچون افزایش فشار اکسایشی اشاره کرد. مطالعات نشان داده‌اند آسم با گسترش رادیکال‌های آزاد و تضعیف سیستم آنتی‌اکسیدانی همراه است (۳۵-۳۶). از آنجایی که فشار اکسایشی از عوامل افزایش‌دهنده فعالیت AKT محسوب می‌شود (۱۰)؛ می‌توان انتظار داشت که آسم از این طریق باعث افزایش بیان آن شود. با توجه به این که ورزش نیز از عوامل کاهنده فشار اکسایشی محسوب می‌شود (۳۶)؛ این احتمال وجود دارد که ورزش تناوبی از طریق کاهش فشار اکسایشی به کاهش بیان AKT منجر شود. از طرفی دیگر در مورد اثر AKT در آترواسکلروز نقش آن در افزایش فعالیت مولکول‌های چسبان عروقی همچون VCAM مهم است (۱۰).

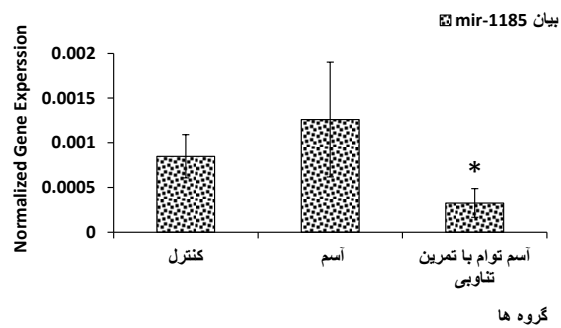
با توجه به نتایج به دست آمده از این تحقیق و کاهش VCAM به عنوان شاخص تشکیل پلاک آترواسکلروزی می‌توان گفت که احتمالاً افزایش جریان خون بافت قلب و اثرات مهارکننده مسیر تولید این پروتئین و فشار برشی موجب کاهش بیان آن می‌شود.

Hamzaoui و همکاران در سال ۲۰۰۱ (۱۳) و Wang و همکاران در سال ۲۰۰۹ (۳۷) افزایش VCAM را در مجاری تنفسی افراد مبتلا به آسم گزارش کردند. Pastva و همکاران در سال ۲۰۱۰ کاهش VCAM را در اثر تمرینات ورزشی در موش‌های صحرایی مبتلا به آسم گزارش کردند (۳۸). مطالعات مختلف عواملی همچون کاهش جذب نوتروفیل و اوزیتیوفیل‌ها و کاهش فعالیت NF-κB را در کاهش VCAM در اثر ورزش موثر دانسته‌اند (۳۹). با این حال کاهش AKT نیز در این مورد موثر است. به نظر می‌رسد ورزش تناوبی از طریق کاهش بیان AKT به کاهش بیان VCAM منجر می‌شود. با این حال نقش میکرو RNA نیز در تنظیم بیان VCAM و همچنین آترواسکلروز موثر است. Deng و همکاران در سال ۲۰۱۷ نشان دادند ۱۱۸۵-mir از طریق افزایش ملکول‌های چسبان عروقی همانند VCAM-1 و E-selectin باعث افزایش سفتی عروق خونی می‌شود (۲۰). با این حال mir-126 از فعالیت VCAM جلوگیری می‌کند و التهاب عروقی را تنظیم می‌کند (۲۱).

نتایج پژوهش حاضر نشان داد آسم موجب افزایش غیرمعنی دار ۱۲۶-mir می‌گردد و تمرین تناوبی نیز در موش‌های صحرایی مبتلا به آسم بیان ۱۲۶-mir را تقویت می‌کند و باعث افزایش ۹۶ درصدی آن شد. در همین راستا Wu و همکاران در سال ۲۰۱۴ نشان دادند که بیان ۱۲۶-mir در دیواره راه هوایی افراد مبتلا به آسم افزایش پیدا می‌کند (۱۷). Collision و همکاران در سال ۲۰۱۱ نیز به نتایج مشابهی دست یافته‌اند (۳۹). در مورد بیان ۱۲۶-mir در بافت قلب نمونه‌های مبتلا به آسم نتوانستیم به نتایج مستدلی دست یابیم؛ اما



نمودار ۳: بیان mir-126 در گروه‌های مختلف مقایسه با گروه کنترل  $P<0.05^*$



نمودار ۴: بیان mir-1185 در گروه‌های مختلف مقایسه با گروه آسم  $P<0.05^*$

## بحث

با توجه به نتایج این مطالعه، مداخله تمرین اثر مهارکننده‌گی بر التهاب ناشی از آسم آرژیک در مدل موش داشت. براین اساس تجویز تمرین موجب کاهش ۶۲ درصد بیان AKT و ۳۶ درصد VCAM در بافت قلب موش‌های صحرایی مبتلا به آسم در مقایسه با گروه آسمی شد. احتمال دارد کاهش میزان AKT در این تحقیق نشان دهنده کاهش التهاب ناشی از آرژن باشد. Yoo و همکاران مسیر PI3K/Akt را به عنوان یکی از اهداف درمانی در بیماری آسم نشان داده و گزارش کردند که آسم فعالیت این مسیر سیگنالی را افزایش می‌دهد (۶). تحقیقات نشان داده‌اند که مهارکننده‌های PI3K/Akt از پاتوژن AHR و التهاب ناشی از آرژن جلوگیری می‌کنند (۳۰). مهار PI3K/Akt از بیان پروتئین ۱۰-ناشی از IFN-γ جلوگیری می‌کند که در هنگام تشدید آسم ناشی از ویروس آزاد می‌شود (۳۱). همچنین مسیر PI3K/Akt سیگنالینگ اکسید نیتریک اکساید و سیگنالینگ اکسید نیتریک را در اپتیلیوم مجاری هوایی تعديل نموده و باعث توسعه التهاب راه‌های هوایی می‌شود (۳۲). علاوه بر این Sun و همکاران نشان دادند که افزایش فعالیت مسیر سیگنالی PI3K/Akt خطر ایجاد آترواسکلروز را افزایش می‌دهد (۳۳). Zhai و همکاران گزارش کردند که مهار مسیر سیگنال Akt می‌تواند ماکروفاژها را کاهش داده و با ترویج اتوفاژی ماکروفاژ، پلاک‌های آترواسکلروزیک آسیب‌پذیر را ثبیت کند (۹).

وزن و تنظیم بیان GSK3B است (۴۶). Pallarès-Albanell و همکاران در سال ۲۰۱۹ نیز mir-1185 را از عوامل افزایش فشار اکسایشی گزارش کردند (۴۷). در مورد مکانیسم اثر آسم و با اثر ورژن در کاهش مقادیر mir-1185 با توجه تعداد محدود پژوهش‌های موجود نمی‌توان دلیل روشی ارایه کرد؛ اما این امکان وجود دارد که تنفس برشی ناشی از ورزش در این زمینه موثر باشد. از سوی دیگر با توجه به این که فشار اکسایشی از عوامل افزایش دهنده بیان AKT محسوب می‌شود؛ این امکان وجود دارد که mir-1185 از طریق افزایش فشار اکسایشی بیان AKT را افزایش دهد.

### نتیجه گیری

نتایج این مطالعه نشان داد که آسم از طریق افزایش بیان ژن‌های AKT، بیان VCAM و خطر آترواسکلروز را افزایش می‌دهد. لیکن ورزش تناوبی از طریق کاهش بیان AKT، VCAM و خطر آترواسکلروز را کاهش می‌دهد.

### تشکر و قدردانی

این مقاله مستخرج از پایان‌نامه خانم معصومه نوبهار برای اخذ درجه دکتری در رشته فیزیولوژی ورزشی از دانشکده علوم تربیتی و روانشناسی دانشگاه محقق اردبیلی بود. نویسنده‌گان مقاله اعلام می‌دارند که هیچگونه تعارض منافعی ندارند. بدین‌وسیله از سرکار خانم دکتر لیلی تاپاک که ما را در انجام این تحقیق یاری نمودند؛ سپاسگزاری می‌نماییم.

### References

- Ober C, Yao TC. The genetics of asthma and allergic disease: a 21st century perspective. *Immunol Rev*. 2011 Jul; 242(1): 10-30. DOI: 10.1111/j.1600-065X.2011.01029.x
- Tuleta I, Skowasch D, Aurich F, Eckstein N, Schueler R, Pizarro C, et al. Asthma is associated with atherosclerotic artery changes. *PLoS One*. 2017; 12(10): e0186820. DOI: 10.1371/journal.pone.0186820
- Wang L, Gao S, Yu M, Sheng Z, Tan W. Association of asthma with coronary heart disease: A meta analysis of 11 trials. *PLoS One*. 2017; 12(6): e0179335. DOI: 10.1371/journal.pone.0179335
- Yun HD, Knoebel E, Fenta Y, Gabriel SE, Leibson CL, Loftus Jr EV, et al. Asthma and Proinflammatory Conditions: A Population-Based Retrospective Matched Cohort Study. *Mayo Clin Proc*. 2012 Oct; 87(10): 953-60. DOI: 10.1016/j.mayocp.2012.05.020
- Knoflach M, Kiechl S, Mayr A, Willeit J, Poewe W, Wick G. Allergic rhinitis, asthma, and atherosclerosis in the Bruneck and ARMY studies. *Arch Intern Med*. 2005 Nov; 165(21): 2521-26. DOI: 10.1001/archinte.165.21.2521
- Yoo EJ, Ojiaku CA, Sunder K, Panettieri Jr RA. Phosphoinositide 3-Kinase in Asthma: Novel Roles and Therapeutic Approaches. *Am J Respir Cell Mol Biol*. 2017 Jun; 56(6): 700-707. DOI: 10.1165/rcmb.2016-0308TR
- Black JL, Panettieri RA, Banerjee A, Berger P. Airway smooth muscle in asthma: just a target for bronchodilation? *Clin Chest Med*. 2001 Dec; 22(4): 661-70. DOI: 10.1016/S0898-2633(01)90034-2
- Silva Jr DA و همکاران نشان داد تمرین هوایی باعث افزایش بیان mir-126 در موش‌های صحرایی سالم می‌شود و این امر می‌تواند با آنزیوژن‌زیز قلبی ناشی از فعالیت ورزشی به وسیله تنظیم مستقیم مسیر VEGF و تنظیم غیرمستقیم اهداف آن مانند MAPK, PI3K/Akt/eNOS مرتبط باشد (۲۵). Hadi و همکاران نیز mir-126 نشان دادند که تمرین هوایی باعث افزایش معنی‌دار بیان Ets-1 در موش‌های صحرایی دیابتی می‌شود (۴۰). بر اساس مطالعات Ets-1 و Ets-2 در تنظیم بیان mir-126 موثر است. لذا افزایش Ets-1 باعث افزایش بیان mir-126 در سلول‌های اندوتیال و Yildiz و همکاران در سال ۲۰۰۴ می‌گردد (۴۱). از سوی دیگر مطالعه ۲۰۰۴ نشان داد که در بیماران مبتلا به آسم پاسخ انتباختی عروق به استرس برشی کاهش پیدا می‌کند (۴۲). تنفس برشی از عوامل افزایش دهنده mir-126 و Ets-1 محسوب می‌شود (۴۳ و ۴۴). از آنجایی که ورزش می‌تواند باعث ایجاد تنفس برشی بالایی شود (۴۵)؛ می‌توان چنین فرض کرد که از طریق افزایش تنفس برشی به افزایش mir-126 در بافت منجر می‌شود. همچنین نتایج این تحقیق نشان داد که بیان mir-1185 در موش‌های صحرایی مبتلا به آسم تغییر معنی‌داری نداشته است. با این حال تمرین تناوبی به کاهش معنی‌دار ۷۴ درصدی آن (حتی به مقادیر کمتر از موش‌های صحرایی سالم تمرین نکرده) منجر شد. با توجه به محدودیت‌های موجود در مورد پیشینه تحقیقاتی mir-1185 نمی‌توان تحقیقات همسو و یا ناهمسو ارایه کرد؛ اما Garcia-Lacarte و همکاران در سال ۲۰۱۹ گزارش کردند که mir-1185 از نشانگرهای واکنش در برابر کاهش Med. 2012 Sep; 33(3): 43-58. DOI: 10.1016/j.ccm.2012.05.002
- Lambrecht BN, Hammad H. The airway epithelium in asthma. *Nat Med*. 2012 May; 18(5): 684-92. DOI: 10.1038/nm.2737
- Zhai C, Cheng J, Mujahid H, Wang H, Kong J, Yin Y, et al. Selective inhibition of PI3K/Akt/mTOR signaling pathway regulates autophagy of macrophage and vulnerability of atherosclerotic plaque. *PLoS One*. 2014 Mar; 9(3): e90563. DOI: 10.1371/journal.pone.0090563
- Rui W, Guan L, Zhang F, Zhang W, Ding W. PM2.5-induced oxidative stress increases adhesion molecules expression in human endothelial cells through the ERK/AKT/NF-κB-dependent pathway. *J Appl Toxicol*. 2016 Jan; 36(1): 48-59. DOI: 10.1002/jat.3143
- Boulet L-P, FitzGerald JM, Reddel HK. The revised 2014 GINA strategy report: opportunities for change. *Curr Opin Pulm Med*. 2015 Jan; 21(1): 1-7. DOI: 10.1097/MCP.000000000000125
- Goto C, Higashi Y, Kimura M, Noma K, Hara K, Nakagawa K, et al. Effect of different intensities of exercise on endothelium-dependent vasodilation in humans: role of endothelium-dependent nitric oxide and oxidative stress. *Circulation*. 2003 Aug; 108(5): 530-35. DOI: 10.1161/01.CIR.0000080893.55729.28
- Hamzaoui A, Ammar J, El Mekki F, Borgi O, Ghrairi H, Ben Brahim M, et al. Elevation of serum soluble E-selectin and VCAM-1 in severe asthma. *Mediators Inflamm*. 2001 Dec; 10: 1-5. DOI: 10.1155/2001/10.1

- 10(6): 339-42. DOI: 10.1080/09629350120102361
14. Latronico MVG, Condorelli G. MicroRNAs and cardiac pathology. *Nat Rev Cardiol.* 2009 Jun; 6(6): 419-29. DOI: 10.1038/nrccardio.2009.56
  15. Qu M, Pan J, Shi X, Zhang Z, Tang Y, Yang G. MicroRNA-126 is a prospective target for vascular disease. *Neuroimmunol Neuroinflammation.* 2018; 5:10. DOI: 10.20517/2347-8659.2018.01
  16. Wang S, Aurora AB, Johnson BA, Qi X, McAnally J, Hill JA, et al. The endothelial-specific microRNA miR-126 governs vascular integrity and angiogenesis. *Dev Cell.* 2008 Aug; 15(2): 261-71. DOI: 10.1016/j.devcel.2008.07.002
  17. Wu XB, Wang MY, Zhu HY, Tang SQ, You YD, Xie YQ. Overexpression of microRNA-21 and microRNA-126 in the patients of bronchial asthma. *Int J Clin Exp Med.* 2014 May; 7(5): 1307-12.
  18. Tian M, Ji Y, Wang T, Zhang W, Zhou Y, Cui Y. Changes in circulating microRNA-126 levels are associated with immune imbalance in children with acute asthma. *Int J Immunopathol Pharmacol.* 2018 Jan-Dec; 32: 2058738418779243. DOI: 10.1177/2058738418779243
  19. Deng H, Chu X, Song Z, Deng X, Xu H, Ye Y. MicroRNA-1185 Induces Endothelial Cell Apoptosis by Targeting UVRAG and KRIT1. *Cell Physiol Biochem.* 2017; 41: 2171-82. DOI: 10.1159/000475571
  20. Deng H, Song Z, Xu H, Deng X, Zhang Q, Chen H, et al. MicroRNA-1185 Promotes Arterial Stiffness through Modulating VCAM-1 and E-Selectin Expression. *Cell Physiol Biochem.* 2017; 41(6): 2183-93. DOI: 10.1159/000475576
  21. Nanoudis S, Pikilidou M, Yavropoulou M, Zebekakis P. The Role of MicroRNAs in Arterial Stiffness and Arterial Calcification. An Update and Review of the Literature. *Front Genet.* 2017; 8: 209. DOI: 10.3389/fgene.2017.00209
  22. Kadoglou NPE, Iliadis F, Liapis CD. Exercise and carotid atherosclerosis. *Eur J Vasc Endovasc Surg.* 2008 Mar; 35(3): 264-72. DOI: 10.1016/j.ejvs.2007.08.022
  23. Silva RA, Almeida FM, Olivo CR, Saraiva Romanholo BM, Martins MA, Carvalho CRF. Exercise reverses OVA-induced inhibition of glucocorticoid receptor and increases anti-inflammatory cytokines in asthma. *Scand J Med Sci Sports.* 2016 Jan; 26(1): 82-92. DOI: 10.1111/sms.12411
  24. Agostini D, Natalucci V, Baldelli G, De Santi M, Zeppa SD, Vallorani L, et al. New Insights into the Role of Exercise in Inhibiting mTOR Signaling in Triple-Negative Breast Cancer. *Oxid Med Cell Longev.* 2018 Sep; 2018: 5896786. DOI: 10.1155/2018/5896786
  25. DA Silva Jr ND, Fernandes V, Soci UPR, Monteiro AWA, Phillips MI, DE Oliveira EM. Swimming training in rats increases cardiac MicroRNA-126 expression and angiogenesis. *Med Sci Sports Exerc.* 2012 Aug; 44(8): 1453-62. DOI: 10.1249/MSS.0b013e31824e8a36
  26. Mirdar Sh, Naiestany F, Hamidian Gh, Hedayati M. [Increment of Alveolar Macrophages and Pulmonary Surfactant of Young Male Rats after Six Weeks Interval Training]. *Sport Physiology.* 2018; 9(36): 59-72. DOI: 10.22089/SPJ.2018.2114.1281 [Article in Persian]
  27. Kodesh E, Zaldivar F, Schwindt C, Tran P, Yu A, Camilon M, et al. A rat model of exercise-induced asthma: a nonspecific response to a specific immunogen. *Am J Physiol Regul Integr Comp Physiol.* 2011 Apr; 300(4): R917-24. DOI: 10.1152/ajpregu.00270.2010
  28. Harijani Mirdar S, Arzani A, Arabzadeh E, Neyestani F, Baghbani M, Ahmadi S. [The Effect of a Period of Interval Training and Step Taper on Performance Indexes in Male Rats during Puberty]. *Journal of Sport Biosciences.* 2016; 7(4): 619-34. DOI: 10.22059/jsb.2015.57287 [Article in Persian]
  29. Mirdar Sh, Naiestany F, Hamidian Gh, Hedayati M. [Increment of Alveolar Macrophages and Pulmonary Surfactant of Young Male Rats after Six Weeks Interval Training]. *Sport Physiology.* 2018; 9(36): 59-72. DOI: 10.22089/SPJ.2018.2114.1281 [Article in Persian]
  30. Nashed BF, Zhang T, Al Alwan M, Srinivasan G, Halayko AJ, Okkenhaug K, et al. Role of the phosphoinositide 3-kinase p110delta in generation of type 2 cytokine responses and allergic airway inflammation. *Eur J Immunol.* 2007 Feb; 37(2): 416-24. DOI: 10.1002/eji.200636401
  31. Cakebread JA, Haitchi HM, Xu Y, Holgate ST, Roberts G, Davies DE. Rhinovirus-16 induced release of IP-10 and IL-8 is augmented by Th2 cytokines in a pediatric bronchial epithelial cell model. *PLoS One.* 2014 Apr; 9(4): e94010. DOI: 10.1371/journal.pone.0094010
  32. Xia X, Hu X, Xu H, Wu L, Dai Y, Yang L, et al. Phosphatidylinositol 3-kinase inhibitor suppresses inducible nitric oxide synthase expression in bronchiole epithelial cells in asthmatic rats. *Mol Cell Biochem.* 2012 Jan; 359(1-2): 293-99. DOI: 10.1007/s11010-011-1023-y
  33. Sun G, Li Y, Ji Z. Up-regulation of MIAT aggravates the atherosclerotic damage in atherosclerosis mice through the activation of PI3K/Akt signaling pathway. *Drug Deliv.* 2019 Dec; 26(1): 641-49. DOI: 10.1080/10717544.2019.1628116
  34. Sahiner UM, Birben E, Erzurum S, Sackesen C, Kalayci O. Oxidative stress in asthma. *World Allergy Organ J.* 2011 Oct; 4(10): 151-58. DOI: 10.1097/WOX.0b013e318232389e
  35. Qu J, Li Y, Zhong W, Gao P, Hu C. Recent developments in the role of reactive oxygen species in allergic asthma. *J Thorac Dis.* 2017 Jan; 9(1): E32-E43. DOI: 10.21037/jtd.2017.01.05
  36. Baghaiee B, Botelho Teixeira AM, Tartibian B. Moderate aerobic exercise increases SOD-2 gene expression and decreases leptin and malondialdehyde in middle-aged men. *Science & Sports.* 2016; 31(3): e55-e63. DOI: 10.1016/j.scispo.2015.12.003
  37. Wang Y, Zhou M, Lou W. [Expression and significance of VCAM-1 in subjects with allergic inflammation of respiratory tract]. *Lin Chung Er Bi Yan Hou Tou Jing Wai Ke Za Zhi.* 2009 Jun; 23(11): 506-7, 512. [Article in Chinese]
  38. Pastva A, Estell K, Schoeb TR, Atkinson TP, Schwiebert LM. Aerobic exercise attenuates airway inflammatory responses in a mouse model of atopic asthma. *J Immunol.* 2004 Apr; 172(7): 4520-26. DOI: 10.4049/jimmunol.172.7.4520
  39. Collison A, Herbert C, Siegle JS, Mattes J, Foster PS, Kumar RK. Altered expression of microRNA in the airway wall in chronic asthma: miR-126 as a potential therapeutic target. *BMC Pulm Med.* 2011 May; 11: 29. DOI: 10.1186/1471-2466-11-29
  40. Hadi H, Gaeini A, Mo'tamedi P, Rajabi H. [The effect of aerobic training on cardiac expression of mir-126 in diabetic rats]. *Razi J Med Sci.* 2016; 23(148): 44-55. [Article in Persian]
  41. Harris TA, Yamakuchi M, Kondo M, Oettgen P, Lowenstein CJ. Ets-1 and Ets-2 regulate the expression of microRNA-126 in endothelial cells. *Arterioscler Thromb Vasc Biol.* 2010 Oct; 30(10): 1990-97. DOI: 10.1161/ATVBAHA.110.211706
  42. Yildiz P, Oflaz H, Cine N, Genchallac H, Erginel Ünaltna N, Yildiz A, et al. Endothelial dysfunction in patients with asthma: the role of polymorphisms of ACE and endothelial NOS genes. *J Asthma.* 2004 Apr; 41(2): 159-66. DOI: 10.1081/jas-120026073
  43. Hergenreider E, Heydt S, Tréguer K, Boettger T, Horrevoets AJG, Zeiher AM, et al. Atheroprotective communication between endothelial cells and smooth muscle cells through miRNAs. *Nat Cell Biol.* 2012 Feb; 14(3): 249-56. DOI: 10.1038/ncb2441

44. Milkiewicz M, Uchida C, Gee E, Fudalewski T, Haas TL. Shear stress-induced Ets-1 modulates protease inhibitor expression in microvascular endothelial cells. *J Cell Physiol.* 2008 Nov; 217(2): 502-10. DOI: 10.1002/jcp.21526
45. Tinken TM, Thijssen DHJ, Hopkins N, Dawson EA, Cable NT, Green DJ. Shear stress mediates endothelial adaptations to exercise training in humans. *Hypertension.* 2010 Feb; 55(2): 312-18. DOI: 10.1161/HYPERTENSIONAHA.109.146282
46. Garcia-Lacarte M, Mansego ML, Zulet MA, Martinez JA, Milagro FI. miR-1185-1 and miR-548q Are Biomarkers of Response to Weight Loss and Regulate the Expression of GSK3B. *Cells.* 2019 Nov; 8(12): 1548. DOI: 10.3390/cells8121548
47. Pallarès-Albanell J, Zomeño-Abellán MT, Escaramís G, Pantano L, Soriano A, Segura MF, et al. A High-Throughput Screening Identifies MicroRNA Inhibitors That Influence Neuronal Maintenance and/or Response to Oxidative Stress. *Mol Ther Nucleic Acids.* 2019 Sep; 17: 374-87. DOI: 10.1016/j.omtn.2019.06.007